

КРАТКИЕ СООБЩЕНИЯ

ТЕОРЕТИЧЕСКАЯ И МАТЕМАТИЧЕСКАЯ ФИЗИКА

УДК 539.123.17; 539.124.17.

ЭЛЕКТРОМАГНИТНЫЕ СВОЙСТВА НЕЙТРИНО В УПРУГОМ РАССЕЯНИИ НА ПОЛЯРИЗОВАННОМ НУКЛОНЕ

Б. К. Керимов, М. Я. Сафин

(кафедра теоретической физики)

Получены аналитические выражения для энергетического распределения нуклона отдачи в упругом $\nu(\bar{\nu})N$ -рассеянии на поляризованной нуклонной мишени с учетом электромагнитных формфакторов ($f_{1\nu}(q^2)$, $f_{2\nu}(q^2)$), поведения спиральности ($\nu_{L \rightarrow \nu_{L,R}}$) нейтрино и слабых и электромагнитных формфакторов нуклона. Исследована зависимость асимметрии сечения по спину протонной мишени от зарядового радиуса нейтрино.

В настоящее время обсуждаются экспериментальные возможности прецизионного измерения [1] сечения упругого нейтрино-протонного рассеяния при низких и средних энергиях для изучения выходящих за рамки Стандартной модели электрослабого взаимодействия (СМ) свойств нейтрино, а также для выявления вклада странных кварков в спин протона. В этой связи особый интерес представляет изучение упругого рассеяния нейтрино на поляризованном протоне [2], которое может дать дополнительную информацию о природе нейтрино-протонного взаимодействия и, в частности, об аксиальном формфакторе нейтрального нуклонного тока.

В работах [3—5] и [4, 6] исследовалось соответственно упругое нейтрино-электронное и нейтрино-нуклонное рассеяние с целью выявить возможные отклонения от СМ за счет массы и электромагнитных моментов дираковского нейтрино.

В данной работе рассчитаны энергетические распределения нуклона отдачи в процессе упругого рассеяния (анти)нейтрино $\nu = \nu_e, \nu_\mu, \nu_\tau$ на поляризованном нуклоне

$$\nu(\bar{\nu}) + N \rightarrow \nu(\bar{\nu}) + N \quad (1)$$

с учетом одновременно слабого и прямого электромагнитного взаимодействия нейтрино, а также поведения его спиральности ($\nu_{L \rightarrow \nu_{L,R}}$, $\nu_{R \rightarrow \nu_{R,L}}$). Получено и исследовано выражение для асимметрии сечения по спину протонной мишени

$$A_p = \frac{d\sigma(s \uparrow \uparrow n) - d\sigma(s \downarrow \uparrow n)}{d\sigma(s \uparrow \uparrow n) + d\sigma(s \downarrow \uparrow n)} \quad (2)$$

в случаях рассеяния нейтрино без изменения и с изменением его спиральности. В (2) s и n — единичные векторы в направлении спина протона и импульса налетающего нейтрино (антинейтрино).

Слабое нейтрино-нуклонное рассеяние описывается эффективной амплитудой

$$M_W = \frac{G_F}{\sqrt{2}} [\bar{u}_\nu(k', \zeta') \gamma_\alpha (1 + \gamma_5) u_\nu(k, \zeta)] \times$$

$$\times \left[\bar{u}_N(p') \left(\gamma^\alpha (g_{VN} + g_{AN}\gamma_5) - \frac{1}{2m_N} f_{VN} P^\alpha \right) u_N(p, s) \right]. \quad (3)$$

Амплитуда электромагнитного нейтрино-нуклонного рассеяния имеет вид

$$M_{EM} = \frac{4\pi\alpha}{q^2} \left[\bar{u}_\nu(k', \zeta') \left(f_{m\nu}\gamma_\alpha - \frac{1}{2m_e} f_{2\nu} K_\alpha \right) u_\nu(k, \zeta) \right] \times \\ \times \left[\bar{u}_N(p') \left(G_{MN}\gamma^\alpha - \frac{1}{2m_N} F_{2N} P^\alpha \right) u_N(p, s) \right]. \quad (4)$$

В (3) и (4) k и k' — 4-импульсы падающего и рассеянного нейтрино, $\zeta = \pm 1$ и $\zeta' = \pm 1$ — соответствующие спиральности; p и s — 4-импульс и поляризация начального нуклона, p' — 4-импульс нуклона отдачи; $K = k + k'$, $P = p + p'$, $q = k - k' = p' - p$; m_e и m_N — массы электрона и нуклона; $g_{VN}(q^2)$, $f_{VN}(q^2)$ и $g_{AN}(q^2)$ — векторные и аксиально-векторный формфакторы нуклонного нейтрального тока; $f_{m\nu} = f_{1\nu} + (m_\nu/m_e)f_{2\nu}$, $f_{1\nu}(q^2)$ и $f_{2\nu}(q^2)$ — дираковский и паулиевский электромагнитные формфакторы нейтрино. Зарядовый радиус нейтрино $r_\nu = \langle r_\nu^2 \rangle^{1/2}$ определяется из выражения $\langle r_\nu^2 \rangle = 6 (\partial f_{1\nu} / \partial q^2)_{q^2=0}$, а магнитный момент $\mu_\nu = f_{2\nu}(0) \mu_B$, где $\mu_B = e/2m_e$ — магнетон Бора.

Электромагнитная структура нуклона описывается электрическим G_{EN} и магнитным G_{MN} формфакторами ($N=p, n$):

$$G_{EN}(q^2) = F_{1N}(q^2) + \frac{q^2}{4m_N^2} F_{2N}(q^2), \quad G_{MN}(q^2) = F_{1N}(q^2) + F_{2N}(q^2). \quad (5)$$

Здесь F_{1N} и F_{2N} — дираковский и паулиевский электромагнитные формфакторы нуклона, нормированные условиями $F_{1p}(0) = 1$, $F_{2p}(0) = \kappa_p$ и $F_{1n}(0) = 0$, $F_{2n}(0) = \kappa_n$, где $\kappa_p = 1,793$ и $\kappa_n = -1,913$ — значения аномальных магнитных моментов протона и нейтрона. В лабораторной системе $q^2 = -2m_N E_k$, E_k — кинетическая энергия нуклона отдачи.

Дифференциальное сечение реакции (1) содержит вклады, обусловленные слабым $d\sigma_W$ и электромагнитным $d\sigma_{EM}$ взаимодействиями, а также их интерференцией $d\sigma_{W\tau}$:

$$d\sigma = d\sigma_W + d\sigma_{EM} + d\sigma_{W\tau}. \quad (6)$$

В случае рассеяния нейтрино на поляризованном протоне ($N=p$) без изменения спиральности ($\zeta' = \zeta = -1$), пренебрегая массой нейтрино ($m_\nu/m_e \ll 1$, $m_\nu/E_\nu \ll 1$), для вкладов в (6) получим следующие выражения:

$$\frac{d\sigma_W(s; \nu_L \rightarrow \nu_L)}{dy} = \sigma_{0p} \left\{ C_+^2 (1 + \text{sn}) + C_-^2 (1 - y) \times \right. \\ \times \left[1 - y - \text{sn} \left(1 - y - \frac{y}{\omega} \right) \right] - C_+ C_- \frac{y}{\omega} (1 + \text{sn}) + \\ \left. + f_{VN} \left(1 - y - \frac{y}{2\omega} \right) [f_{VN}(\omega y + 2) - 2C_+ (1 + \text{sn}) - 2C_- (1 - \text{sn}(1 - y))] \right\}, \quad (7)$$

$$\frac{d\sigma_{EM}(s; \nu_L \rightarrow \nu_L)}{dy} = \sigma_\nu \frac{2f_{1\nu}^2}{\omega y^3 (\omega y + 2)} \left\{ 2G_{Ep}^2 \left(1 - y - \frac{y}{2\omega} \right) + \right. \\ \left. + G_{Ep} G_{Mp} 2y \left(1 - y - \frac{y}{2\omega} \right) \text{sn} + \right.$$

$$+ \omega y G_{Mp}^2 \left[1 - y + \frac{y^2}{2} + \frac{y}{2\omega} + \text{sn} \left(1 - \frac{y}{2} \right) \omega_0 y \right], \quad (8)$$

$$\begin{aligned} \frac{d\sigma_{\mathcal{W}\gamma}(s; \nu_L \rightarrow \nu_L)}{dy} = & -\sigma_{\mathcal{W}\gamma} \frac{2f_{1\nu}}{y(\omega y + 2)} \left\{ C_+ \left[\omega y G_{Mp} \left(1 - \frac{y}{2\omega} + \frac{2}{\omega} \right) + \right. \right. \\ & \left. \left. + 2G_{Ep} \left(1 - y - \frac{y}{2\omega} \right) \right] (1 + \text{sn}) + \right. \\ & \left. + C_- \left[y G_{Mp} \left(\omega (1 - y)^2 (1 - \text{sn}) - \frac{1}{2} (4 - 3y) + \frac{y}{2\omega} (\omega - 2 - 2\omega y) \text{sn} \right) + \right. \right. \\ & \left. \left. + 2G_{Ep} (1 - \text{sn} (1 - y)) \left(1 - y - \frac{y}{2\omega} \right) \right] - \right. \\ & \left. - f_{Vp} \left(1 - y - \frac{y}{2\omega} \right) (\omega y + 2) (2G_{Ep} + y G_{Mp} \text{sn}) \right\}. \quad (9) \end{aligned}$$

В формулах (7)–(9) приняты обозначения:

$$\begin{aligned} \sigma_{0p} = G_F^2 m_p E_\nu / 2\pi, \quad \sigma_\gamma = \pi \alpha^2 / m_p^2, \quad \sigma_{\mathcal{W}\gamma} = \alpha G_F \sqrt{2}, \quad y = -q^2 / (2m_p E_\nu) = \\ = E_R / E_\nu, \quad \omega = E_\nu / m_p, \quad \omega_0 = (\omega + 1) / \omega, \quad \mathbf{n} = \mathbf{k}_\nu / k_\nu, \quad C_+ = g_L = g_{Vp} + g_{Ap}, \\ C_- = g_R = g_{Vp} - g_{Ap}; \quad g_{Vp} = (2g_{Vu} + g_{Vd}) G_{Mp} + (g_{Vu} + 2g_{Vd}) G_{Mn}, \\ g_{Ap} = \left(\frac{4}{5} g_{Au} - \frac{1}{5} g_{Ad} \right) g_A, \quad f_{Vp} = (2g_{Vu} + g_{Vd}) F_{2p} + (g_{Vu} + 2g_{Vd}) F_{2n}, \end{aligned}$$

где g_{Vu} , g_{Vd} и g_{Au} , g_{Ad} — векторные и аксиально-векторные константы связи кваркового слабого нейтрального тока; $g_A(q^2)$ — аксиальный формфактор заряженного тока, $g_A(0) = 1,26$. Параметр $\rho_{0p} = \sigma_\gamma / \sigma_{\mathcal{W}\gamma} = \alpha \pi \sqrt{2} / G_F m_p^2 = 3,16 \cdot 10^3$ определяет относительную величину электромагнитного и интерференционного вкладов в сечение (6), причем $\sigma_\gamma / \sigma_{0p} = \rho_{0p}^2 / \omega$, $\sigma_{\text{int}} / \sigma_{0p} = \rho_{0p} / \omega$, $\alpha = e^2 / 4\pi = (137)^{-1}$.

В рассматриваемом приближении ($m_\nu / m_e \ll 1$) сечение рассеяния нейтрино с изменением спиральности ($\zeta' = -\zeta = 1$) практически определяется только электромагнитным взаимодействием нейтрино с протоном и оказывается не зависящим от поляризации протонной мишени:

$$\begin{aligned} \frac{d\sigma(s; \nu_L \rightarrow \nu_R)}{dy} = \frac{d\sigma_{EM}(\nu_L \rightarrow \nu_R)}{dy} = \\ = \sigma_\gamma \frac{m_p^2}{2m_e^2} \frac{f_{2\nu}^2}{y(\omega y + 2)} \left[G_{Ep}^2 (2 - y)^2 + 2\omega y G_{Mp}^2 \left(1 - y - \frac{y}{2\omega} \right) \right]. \quad (10) \end{aligned}$$

Формулы для сечений упругого рассеяния антинейтрино на поляризованной нуклонной мишени могут быть получены из (7)–(10) заменой киральных параметров $C_+ \rightarrow C_-$ и $C_- \rightarrow C_+$.

Для рассеяния $\nu_{LP} \rightarrow \nu_{LP}$ асимметрия (2) оказывается весьма чувствительной к величине зарядового радиуса нейтрино r_ν , а также к значениям параметров слабого нейтрального тока протона. Это обусловлено следующей структурой разности сечений $\Delta\sigma$, определяющей спиновую асимметрию A_p :

$$\begin{aligned} \Delta\sigma = d\sigma(s \uparrow \uparrow \mathbf{n}) - d\sigma(s \downarrow \downarrow \mathbf{n}) = \\ = 2\sigma_0 \frac{1}{(\omega y + 2)} \left[2g_{Ap} + (g_{Vp} - g_{Ap}) y - \frac{1}{3} \rho_{0p} G_{Mp} (m_p r_\nu)^2 y \right] \times \end{aligned}$$

$$\times \left\{ \left[2(g_{Vp} - f_{Vp}) - (g_{Vp} - g_{Ap}) \left(1 + \frac{1}{\omega} \right) y + 2f_{Vp} \left(1 + \frac{1}{2\omega} \right) y \right] (\omega y + 2) - \frac{1}{3} \rho_{op} (m_p r_v)^2 \left[G_{Mp} (1 + \omega) (2 - y) y + 4G_{Ep} \left(1 - y - \frac{y}{2\omega} \right) \right] \right\}. \quad (11)$$

В пределе очень малых $y \rightarrow 0$ из (11) следует, что $\Delta\sigma = 8\sigma_{op} g_{Ap} (g_{Vp} - f_{Vp})$, т. е. асимметрия пропорциональна аксиально-векторной константе слабого нейтрального тока протона. При конечных же значениях y , например при $y = 0,1 y_{\max}$, где $y_{\max} = 2\omega / (2\omega + 1)$, поправки к $\Delta\sigma$, вносимые слабым взаимодействием (член, пропорциональный $(g_{Vp} - g_{Ap})$) и электромагнитным взаимодействием за счет зарядового радиуса нейтрино (член, пропорциональный $\rho_{op} (m_p r_v)^2$), оказываются одного порядка.

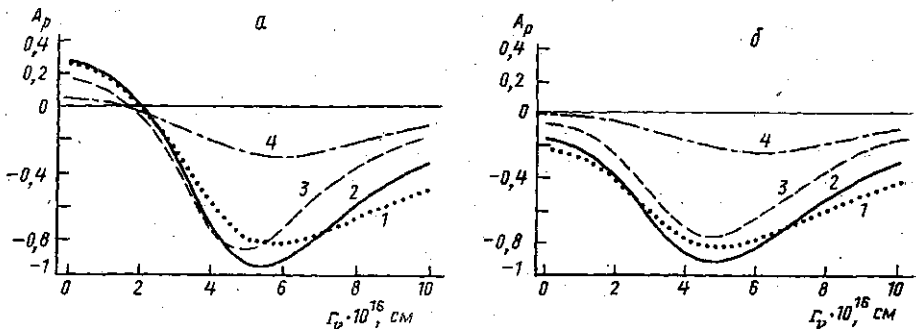
Кварковые константы стандартной модели даются следующими выражениями:

$$g_{Vu} = \frac{1}{2} - \frac{4}{3} x, \quad g_{Au} = \frac{1}{2}, \quad g_{Vd} = -\frac{1}{2} + \frac{2}{3} x, \\ g_{Ad} = -\frac{1}{2}, \quad x = \sin^2 \theta_W = 0,232. \quad (12)$$

Экспериментальные значения [7] киральных констант связи $\epsilon_{L,R}(i)$ адронного нейтрального тока:

$$\epsilon_L(u) = \frac{1}{2} (g_{Vu} + g_{Au}) = 0,332 \pm 0,016, \\ \epsilon_L(d) = \frac{1}{2} (g_{Vd} + g_{Ad}) = -0,438 \pm 0,012, \\ \epsilon_R(u) = \frac{1}{2} (g_{Vu} - g_{Au}) = -0,178 \pm 0,013, \\ \epsilon_R(d) = \frac{1}{2} (g_{Vd} - g_{Ad}) = -0,026 \pm 0,065. \quad (13)$$

На рисунке показана вычисленная из (7)–(9) и (11) зависимость



Зависимость спиновой асимметрии A_p от зарядового радиуса нейтрино r_v для кварковых констант связи по стандартной модели (12) (а) и по экспериментальным данным (13) (б) при $y = 0,1 y_{\max}$: $\omega = E_\nu / m_p = 0,03$ (1); 1 (2); 10 (3) и 100 (4)

асимметрии A_p от зарядового радиуса нейтрино r_v в единицах 10^{-16} см соответственно для значений кварковых констант нейтрального тока (12), предсказываемых СМ, и значений этих констант, полученных из экспериментально измеренных кварковых киральных констант (13).

Кривые даны при $y=0,1 y_{\max}$, где $y=E_k/E_v$, E_k — кинетическая энергия протонов отдачи для различных значений энергии налетающих нейтрино $\omega=E_\nu/m_p$. Из рисунка видно, что A_p весьма существенно зависит от значения зарядового радиуса нейтрино, а в области $r_\nu < 3 \times 10^{-16}$ см — от констант связи кваркового слабого нейтрального тока.

ЛИТЕРАТУРА

1. CERN Courier, 1993, 33, N 6, P. 10.
2. Керимов Б. К., Сафин М. Я., Ишанкулиев Д. // Вестн. Моск. ун-та. Физ. Астрон. 1976. 17, № 5. С. 621; Ядерная физика. 1980. 32. С. 765.
3. Керимов Б. К., Сафин М. Я. // Изв. РАН, сер. физ. 1994. 58. С. 159; 1993. 57. С. 93 и ссылки в них.
4. Kerimov B. K., Safin M. Ya. // Proc. 5-th International Workshop SPIN-93. INEP, Protvino, 1994. P. 196.
5. Allen R. C., Chen N. N., Doe P. J. et al. // Phys. Rev. 1993. D47. P. 11 and references therein.
6. Керимов Б. К., Сафин М. Я., Муалла Т. // Ядерн. спектр. и структура атомн. ядра: Тезисы докл. Междунар. совещ. С.-Пб. 1994. С. 193; Изв. РАН, сер. физ. 1995. 59. С. 198.
7. Particle Data Group // Phys. Rev. 1994. D50. P. 1305.

Поступила в редакцию
05.04.95

ВЕСТН. МОСК. УН-ТА. СЕР. 3, ФИЗИКА. АСТРОНОМИЯ. 1995. Т. 36, № 5

ОПТИКА И СПЕКТРОСКОПИЯ

УДК 621.378.33

МНОГОЧАСТОТНЫЙ КОМБИНАЦИОННЫЙ ЛАЗЕР НА ВРАЩАТЕЛЬНЫХ ПЕРЕХОДАХ В СЖАТОМ ВОДОРОДЕ

Н. В. Кравцов, Н. И. Наумкин

(НИИЯФ)

Приводятся результаты экспериментального исследования генерации многочастотного комбинационного лазера на сжатом водороде. Показано, что многофокусная схема лазера, реализованная в настоящей работе с помощью оптической линии задержки, резко повышает эффективность генерации старших стоксовых компонент.

Одновременная генерация большого числа стоксовых и антистоксовых компонент при вынужденном излучении позволяет значительно расширить возможности практического применения комбинационных лазеров. Такие лазеры могут найти применение при генерации предельно коротких импульсов света, лазерной спектроскопии, оптической связи и т. п. Эффективность преобразования зависит от спектрального состава и соотношения интенсивностей взаимодействующих волн [1]. Однако при реализации традиционных схем комбинационных лазеров, когда отсутствует возможность управления интенсивностями взаимодействующих компонент, эффективность генерации старших комбинационных компонент, как правило, оказывается весьма малой.

В работе [2] показано, что использование двухчастотной накачки позволяет повысить эффективность преобразования частот в комбинационных лазерах. Реализация этой идеи в [3] позволила получить одновременную генерацию 13 комбинационных компонент.

Еще более значительное расширение спектра генерации комбинационного лазера, как будет показано ниже, может быть получено при